

и величина $A^{(2)} = A_m^{(2)}$ этого максимума практически не зависят от внешнего магнитного поля. При $s^2 < \frac{4 + \xi^4}{4\xi^2} \left(\frac{\varepsilon_1 \tau_1}{1 + 4\tau_1^2} + \frac{\varepsilon_2 \tau_2}{1 + 4\tau_2^2} \right)$ большему значению интенсивности внешнего магнитного поля соответствуют меньшие значения x_m и $A_m^{(2)}$. Это иллюстрируется рис. 1, на котором показано распределение функции $A_m^{(2)}/\beta_2$ в глубь полупространства из поликристаллического алюминия при $s^2 = 10^{-1}, 10^{-2}, 10^{-3}, 10^{-4}, 10^{-5}, 0$ (кривые 1—6 соответственно) для $\rho = 2,7 \cdot 10^4 \frac{\text{кг}}{\text{м}^3}$, $c_1 = 5,1 \cdot 10^8 \text{ м/с}$, $\beta = \frac{1}{3}$, $\Delta_0^{(1)} = 8 \cdot 10^{-4}$, $\sigma = 5 \times 10^7 \text{ Ом}^{-1} \cdot \text{м}^{-1}$, $\tau_1 = 70$, $\xi^2 = 22,6$. Численные расчеты производились в пренебрежении эффектами объемной вязкости в связи с их малостью по сравнению с эффектами, обусловленными сдвиговой вязкостью [9]. При выборе $\Delta_0^{(1)}$ и τ_1 использованы данные, приведенные в этой же работе.

На рис. 2 показана зависимость функции $\lg A_m^{(2)}/\beta_2$ максимальной значения амплитуды волны перемещения второй гармоники от $\lg \omega$ при $s^2 = 10^{-1}, 10^{-3}, 10^{-4}, 10^{-5}, 0$ (кривые 1—5 соответственно). Из графиков видно, что влияние внешнего магнитного поля на $A_m^{(2)}$ особенно существенно при высоких частотах. Минимум максимального значения $A_m^{(2)}$ амплитуды волны соответствует значению параметра $\tau_1 = \omega \tau_1 = 1$

1. Бурак Я. И., Кондрат В. Ф. Магнитотермоупругие волны в полубесконечном электропроводном теле.— В кн.: Волны в сплошных средах. Киев : Наук. думка, 1978, с. 85—92.
2. Дэвис Р. М. Волны напряжений в твердых телах.— М. : Изд-во иностр. лит., 1961.— 102 с.
3. Зарембо Л. К., Красильников В. А. Нелинейные явления при распространении упругих волн в твердых телах.— Успехи физ. наук, 1970, 102, № 4, с. 549—586.
4. Кнопфель Г. Сверхсильные импульсивные магнитные поля.— М. : Мир, 1972.— 391 с.
5. Нагирный Т. С. Нелинейные уравнения магнитотермовязкоупругости.— В кн.: Материалы V конф. молодых ученых Льв. фил. мат. физики Ин-та математики АН УССР. Секция механики деформируемого твердого тела. Львов, 1978, с. 74—77.
6. Новаку В. Введение в электродинамику.— М. : Изд-во иностр. лит., 1963.— 303 с.
7. Підстригач Я. С., Бурак Я. И., Кондрат В. Ф. Магнітотермопружні процеси в електропровідних тілах при силовому навантаженні.— Вісн. АН УРСР, № 10, с. 12—21.
8. Полякова А. Л. Нелинейные эффекты в твердых телах.— Физика твердого тела, 1964, 6, № 1, с. 65—70.
9. Постников В. С. Внутреннее трение в металлах.— М. : Металлургиздат, 1974.— 351 с.
10. Селезов И. Т., Селезова Л. В. Волны в магнитоупругих средах.— Киев : Наук. думка, 1975.— 163 с.

Институт прикладных проблем
механики и математики АН УССР

Поступила в редколлегия
25.05.79

УДК 539.3 : 538.569

А. Р. Гачкевич, Р. Ф. Терлецкий

**ТЕМПЕРАТУРНЫЕ ПОЛЯ И НАПРЯЖЕНИЯ
В ДИЭЛЕКТРИЧЕСКОМ УПРУГОМ СЛОЕ,
НАХОДЯЩЕМСЯ ПОД ВОЗДЕЙСТВИЕМ
УСТАНОВИВШЕГОСЯ ЭЛЕКТРОМАГНИТНОГО ПОЛЯ**

В данной работе определены и исследованы электромагнитные, тепловые поля и напряжения в слое, находящемся в периодическом во времени внешнем электромагнитном поле. При этом влияние поля на процессы деформации и теплопроводности связывается только с выделением тепла, обусловленного трением, возникающем при переориентации диполей в переменном электромагнитном поле, и наличием чисто омической проводимости в диэлектрике, это учитывается введением комплексной диэлектрической проницаемости и ее дисперсией с частотой [2, 4, 9]. В отличие от известных в литературе работ [3] определению температурных полей в диэлектрике [4, 6], в которых

тепловыделения усредняются во времени по периоду колебания электромагнитной волны и пренебрегается процессом теплопроводности [6], здесь учитывается периодический характер изменения во времени электромагнитного поля. Физико-механические характеристики слоя считаем постоянными и влиянием подвижности среды на электромагнитное поле пренебрегаем.

Рассмотрим упругий диэлектрический слой при заданной на поверхностях слоя $z = 0, 1$ напряженности электрического поля $E_x = E_0 e^{i\omega t}$, где ω — круговая частота; t — время; x, y, z — отнесенные к толщине слоя h декартовы координаты. В области слоя отличными от нуля будут напряженности электрического $E_x(z, t) = E(z) e^{i\omega t}$ и магнитного $H_y(z, t) = H(z) e^{i\omega t}$ полей. Из системы уравнений Максвелла при комплексной диэлектрической проницаемости $\tilde{\epsilon} = \epsilon' - i\epsilon''$ [7, 9] получаем

$$E(z) = E_0 \frac{\operatorname{ch} \frac{k}{2} (2z - 1)}{\operatorname{ch} \frac{k}{2}}, \quad (1)$$

где $k = \beta + i\alpha$; $\beta = \frac{\omega h}{c} \sqrt{\epsilon} \sin \frac{\delta}{2}$; $\alpha = \frac{\omega h}{c} \sqrt{\epsilon} \cos \frac{\delta}{2}$; $\epsilon = |\tilde{\epsilon}|$; $\epsilon'/\epsilon'' = \operatorname{tg} \delta$ — тангенс угла диэлектрических потерь; $c = \frac{1}{\sqrt{\epsilon_0 \mu_0}}$ — электродинамическая постоянная. Не нарушая общности рассуждений, магнитную проницаемость среды μ здесь и далее считаем равной единице.

Удельную плотность тепловых источников [2]

$$Q = \frac{\sigma}{2} \{\operatorname{Re} [E(z) e^{i\omega t}]\}, \quad (2)$$

согласно работе [5], представим в виде $Q = Q^{(1)} + Q^{(2)}$.
Здесь

$$\begin{aligned} Q^{(1)} &= \frac{\sigma E_0^2}{2(\operatorname{ch} \beta + \cos \alpha)^2} [\operatorname{ch} \beta (2z - 1) + \cos \alpha (2z - 1)]; \\ Q^{(2)} &= \frac{\sigma E_0^2}{4(\operatorname{ch} \beta + \cos \alpha)^2} \{ [\cos 2\alpha z \operatorname{ch} 2\beta (z - 1) + \cos 2\alpha (z - 1) \operatorname{ch} 2\beta z + \\ &+ 2 \cos \alpha (2z - 1) \operatorname{ch} \beta (2z - 1) + 2(1 + \cos \alpha \operatorname{ch} \beta)] \cos 2\omega t - \\ &- [\sin 2\alpha z \operatorname{sh} 2\beta (z - 1) + \sin 2\alpha (z - 1) \operatorname{sh} 2\beta z + \\ &+ 2 \sin \alpha (2z - 1) \operatorname{sh} \beta (2z - 1) - 2 \sin \alpha \operatorname{sh} \beta] \sin 2\omega t \}; \end{aligned} \quad (3)$$

$\sigma = \omega \epsilon_0 \epsilon''$ — проводимость диэлектрика.

Температурные поля и напряжения находим для слоя, на свободных от силового нагружения основаниях которого поддерживается конвективный теплообмен с внешней средой. Температура среды T_0 . Полагая $u_x = u_y = 0$ и пренебрегая связанностью полей деформации и температуры, приходим к решению системы уравнений [5]

$$\begin{aligned} \frac{\partial^2 T}{\partial z^2} - \frac{\partial T}{\partial \tau} &= - \frac{h^2}{\lambda} Q(z, \tau), \\ \frac{\partial^2 u_z}{\partial z^2} - q^2 h^2 \frac{\partial^2 u_z}{\partial t^2} &= \frac{(1 + \nu) \alpha h}{1 - \nu} \frac{\partial T}{\partial z} \end{aligned} \quad (4)$$

при начальных

$$T(z, 0) = 0, \quad u_z(z, 0) = 0, \quad \frac{\partial u_z(z, 0)}{\partial z} = 0 \quad (5)$$

и граничных

$$\frac{\partial T(0, \tau)}{\partial z} - \operatorname{Bi} T(0, \tau) = 0,$$

$$\frac{\partial T(1, \tau)}{\partial z} + \text{Bi} T(1, \tau) = 0, \quad (6)$$

$$\frac{\partial u_z}{\partial z} = \frac{(1 + \nu) \alpha_l h}{1 - \nu} T \quad \text{при } z = 0, 1$$

условиях, где $T(z, \tau)$ — отклонение температуры от начальной; $q^2 = \frac{(1 - 2\nu) \rho}{2(1 - \nu) G}$; $\frac{1}{q}$ — скорость распространения поперечной волны; λ, a — коэффициенты тепло- и температуропроводности; α_l — коэффициент линейного расширения; E, G, ν — соответственно модуль упругости, модуль сдвига и коэффициент Пуассона; ρ — плотность; $\tau = \frac{at}{h^2}$ — критерий Фурье; Bi — критерий Био. Нормальные напряжения $\sigma_x, \sigma_y, \sigma_z$ по найденным u_z и T определяются формулами [5]

$$\begin{aligned} \sigma_z &= \frac{2G}{1 - 2\nu} \left[(1 - \nu) \frac{\partial u_z}{\partial z} - \alpha_l (1 + \nu) T \right], \\ \sigma_x &= \sigma_y = \frac{2G}{1 - 2\nu} \left[\nu \frac{\partial u_z}{\partial z} - \alpha_l (1 + \nu) T \right]. \end{aligned} \quad (7)$$

В соответствии с выражением для тепловых потерь температуру и перемещения представим в виде [5]

$$T = T^{(1)} + T^{(2)}, \quad u_z = u_z^{(1)} + u_z^{(2)}, \quad (8)$$

где T^j, u_z^j ($j = 1, 2$) удовлетворяют уравнениям (4) при сформулированных начальных и граничных условиях. Составляющие $T^{(1)}, u_z^{(1)}$ находим в квазистатической постановке [5], т. е. из системы уравнений

$$\begin{aligned} \frac{\partial^2 T^{(1)}}{\partial z^2} - \frac{\partial T^{(1)}}{\partial \tau} &= -\frac{h^2}{\lambda} Q^{(1)}, \\ \frac{\partial^2 u_z}{\partial z^2} &= \frac{(1 + \nu) \alpha_l h}{1 - \nu} \frac{\partial T^{(1)}}{\partial z} \end{aligned} \quad (9)$$

при начальном $T(z, 0) = 0$ и граничных условиях (6). Применяя конечное интегральное преобразование по z [1], получаем

$$\begin{aligned} T^{(1)}(z, \tau) &= \frac{A}{2(\text{ch } \beta + \cos \alpha)} \left\{ \frac{\cos \alpha (2z - 1)}{4\alpha^2} - \frac{\text{ch } \beta (2z - 1)}{4\beta^2} + \right. \\ &+ \frac{1}{\text{Bi}} \left[\frac{\text{sh } \beta}{2\beta} + \frac{\sin \alpha}{2\alpha} - \text{Bi} \left(\frac{\cos \alpha}{4\alpha^2} - \frac{\text{ch } \beta}{4\beta^2} \right) \right] - \\ &\left. - \sum_{n=1}^{\infty} \frac{1}{\beta_n^2 \beta_n^2} K(\beta_n, z) \left(\frac{\text{Bi}}{\beta_n} K_n + L_n \right) e^{-\beta_n^2 \tau} \right\}. \end{aligned} \quad (10)$$

Здесь

$$B_n^2 = \frac{1}{2\beta_n^3} [(\beta_n^2 + \text{Bi}^2) \beta_n + 2 \text{Bi} \beta_n \sin^2 \beta_n + (\beta_n^2 - \text{Bi}) \sin 2\beta_n];$$

$$K(\beta_n, z) = \frac{\text{Bi}}{\beta_n} \sin \beta_n (1 - z) + \cos \beta_n (1 - z); \quad A = \frac{\sigma E_0^2 h^2}{\lambda};$$

$$K_n = \frac{\beta_n \text{ch } \beta \sin^2 \frac{\beta_n}{2} + \beta \text{sh } \beta \sin \beta_n}{4\beta^2 + \beta_n^2} - \frac{\alpha \sin \alpha \sin \beta_n - \beta_n \cos \alpha \sin^2 \frac{\beta_n}{2}}{4\alpha^2 - \beta_n^2};$$

$$L_n = \frac{4\beta \text{sh } \beta \cos^2 \frac{\beta_n}{2} + \beta_n \sin \beta_n \text{ch } \beta}{4\beta^2 + \beta_n^2} + \frac{4\alpha \sin \alpha \cos^2 \frac{\beta_n}{2} - \beta_n \cos \alpha \sin \beta_n}{4\alpha^2 - \beta_n^2},$$

а β_n — ненулевые корни уравнения

$$\frac{\beta^2 - \text{Bi}^2}{2\beta \text{Bi}} = \text{ctg } \beta.$$

Соответствующие температурные напряжения определяются формулами

$$\sigma_z^{(1)} = 0, \quad \sigma_x^{(1)} = \sigma_y^{(1)} = -\frac{\alpha_t E}{1 - \nu} T^{(1)}. \quad (11)$$

Функции $T^{(2)}$, $u_z^{(2)}$ согласно выражениям (3) ищем в виде

$$T^{(2)} = \varphi(z) e^{2i\omega t} + \bar{\varphi}(z) e^{-2i\omega t}, \quad (12)$$

$$u_z^{(2)} = \chi(z) e^{2i\omega t} + \bar{\chi}(z) e^{-2i\omega t}.$$

Из уравнений (4) и граничных условий (6) получаем

$$\begin{aligned} \varphi(z) &= \frac{A}{(4k^2 - \eta_1^2)(1 + \text{ch } k)} \left[C_0 (C \text{ch } \eta_1 z + \text{sh } \eta_1 z) + \text{ch } k (2z - 1) - \frac{4k^2 - \eta_1^2}{\eta_1^2} \right], \\ \chi(z) &= \frac{(1 + \nu) \alpha_t h A}{(1 - \nu)(4k^2 - \eta_1^2)(1 + \text{ch } k)} \left[C_1 \cos \eta_2 z + C_2 \sin \eta_2 z + \right. \\ &\quad \left. + \frac{\eta_1}{\eta_1^2 + \eta_2^2} C_0 (C \text{sh } \eta_1 z + \text{ch } \eta_1 z) + \frac{2k}{\eta_2^2 + 4k^2} \text{sh } k (2z - 1) \right], \end{aligned} \quad (13)$$

где

$$C_0 = -\frac{\left(2k \text{sh } k + \text{Bi } \text{ch } k - \text{Bi} \frac{4k^2 - \eta_1^2}{\eta_1^2} \right) [\text{Bi} (1 - \text{ch } \eta_1) - \eta_1 \text{sh } \eta_1]}{2 \text{Bi } \text{ch } \eta_1 + (\text{Bi}^2 + \eta_1^2) \text{sh } \eta_1};$$

$$C_1 = -\frac{1}{\eta_2 \sin \eta_2} \left\{ \frac{\eta_2^2}{\eta_1^2 + \eta_2^2} C_0 [(\text{ch } \eta_1 - \cos \eta_2) C + \text{sh } \eta_1] + \right. \\ \left. + (1 - \cos \eta_2) \left(\frac{\eta_2^2}{\eta_2^2 + 4k^2} \text{ch } k - \frac{4k^2 - \eta_1^2}{\eta_1^2} \right) \right\};$$

$$C_2 = -\frac{\eta_2 C_0 C}{\eta_1^2 + \eta_2^2} + \frac{\eta_2}{4k^2 + \eta_2^2} \text{ch } k - \frac{4k^2 - \eta_1^2}{\eta_1^2 \eta_2};$$

$$C = \frac{\eta_1 (1 + \text{ch } \eta_1) + \text{Bi } \text{sh } \eta_1}{\text{Bi} (1 - \text{ch } \eta_1) - \eta_1 \text{sh } \eta_1}; \quad \eta_1 = \sqrt{\frac{\omega h^2}{a} (1 + i)}; \quad \eta_2 = 2\omega q h.$$

Соответствующие температурные напряжения будут такими:

$$\begin{aligned} \sigma_z^{(2)} &= \frac{4G}{1 - 2\nu} \text{Re} \left\{ \left[(1 - \nu) \frac{d\chi}{dz} - \alpha_t (1 + \nu) \varphi(z) \right] e^{2i\omega t} \right\}, \\ \sigma_x^{(2)} &= \sigma_y^{(2)} = \frac{4G}{1 - 2\nu} \text{Re} \left\{ \left[\nu \frac{d\chi}{dz} - \alpha_t (1 + \nu) \varphi(z) \right] e^{2i\omega t} \right\}. \end{aligned} \quad (14)$$

Численное исследование температурных полей и напряжений проводилось для слоя из стеклопластика СНК-2-27 толщиной $h < 2,5 \cdot 10^{-2}$ м при следующих характеристиках материала [3, 8]: $\lambda = 0,43 \frac{\text{Вт}}{\text{м} \cdot \text{град}}$; $a = 0,228 \times 10^{-6} \frac{\text{м}^2}{\text{с}^2}$; $\alpha_t = 0,11 \cdot 10^{-4} \frac{1}{\text{град}}$; $E = 0,882 \cdot 10^{10} \frac{\text{Н}}{\text{м}^2}$; $\nu = 0,28$; $\rho = 1,77 \times 10^3 \frac{\text{кг}}{\text{м}^3}$.

Для исследуемых толщин слоя во всем диапазоне частот, приведенном в таблице, параметр $\beta = \frac{\omega h}{c} \sqrt{\varepsilon} \sin \frac{\delta}{2}$ является малым, так что с достаточной для практических расчетов точностью можно принять $\text{ch } \beta \approx 1$.

На рис. 1 представлено распределение усредненного по периоду колебаний электромагнитной волны $f = \frac{2\pi}{\omega}$ тепла $Q_* = \frac{2Q^{(1)}h}{\epsilon_0 c \epsilon^2} L(\omega)$ по толщине слоя. Численные значения параметра $L(\omega) = \frac{\epsilon' \operatorname{tg} \delta}{\sqrt{\epsilon} \cos \frac{\delta}{2}}$ приведены в таблице.

Кривые 1—5 на рис. 1 соответствуют значениям параметра $\alpha = \frac{\omega h}{c} \sqrt{\epsilon} \cos \frac{\delta}{2} = 0,5; 1,5; 2,5; 4,5; 6$. Как видно из графиков, неравно-

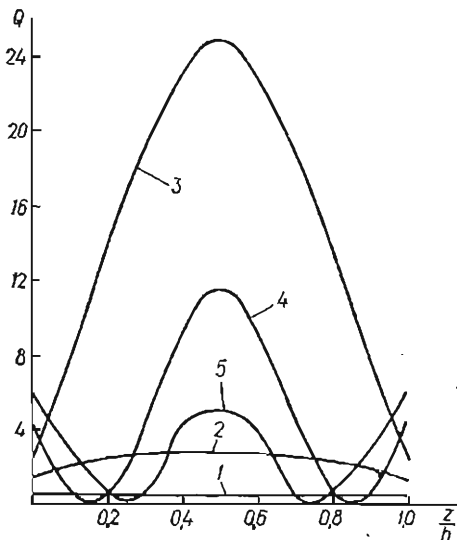


Рис. 1

мерность распределения удельных тепловыделений по толщине слоя определяется соотношением между толщиной слоя h и длиной волны $\lambda_* = \frac{2\pi}{\alpha} h$. Если толщина слоя значительно меньше λ_* , тепло равномерно распределено

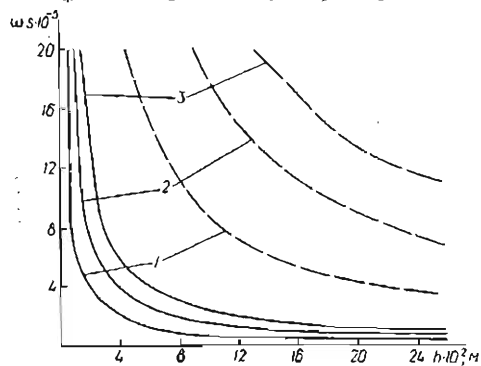


Рис. 2

го толщине. При толщинах порядка и меньше тепло распределено по толщине неравномерно. При этом для толщин слоя, равных полудлине волны, имеют место явления типа резонанса. Резонансные частоты внешнего электромагнитного поля определяются соотношением

$$\omega_m \sqrt{\epsilon} \cos \frac{\delta}{2} = \frac{\pi c (2m - 1)}{h} \quad (m = 1, 2, \dots).$$

Количественная оценка температурных полей и напряжений, которые соответствуют нагреву тепловыми источниками (2) и усредненными по периоду $Q^{(1)}$, показала, что температурные поля совпадают независимо от критерия Бю, причем составляющая $T^{(2)}$ практически не зависит от него. Соответствующие температурные напряжения отличаются незначительно, за исключением окрестностей резонансных частот

$$\omega_n = \frac{\pi n}{2qh} \quad (n = 1, 2, \dots),$$

где напряжения $\sigma^{(2)}$ могут достигать значительных величин. Эти результаты совпадают с результатами, полученными в работе [5] по исследованию термоупругого поведения в электромагнитном поле электропроводного слоя.

На рис. 2 показана зависимость первых трех резонансных частот электромагнитного поля ω_n ($n = 1, 2, 3$) от толщины слоя при $s = 1$ (сплошные линии 1—3). На этом же рисунке при $s = 5 \cdot 10^{-5}$ (штриховые линии 1—3) доказана зависимость от толщины слоя первых трех резонансных частот ω_m ($m = 1, 2, 3$). Следует отметить, что первые резонансные частоты ω_n лежат ниже области частот, применяемых обычно в практике при нагреве диэлектриков. На рис. 3 представлено распределение температуры $T_* =$

ω , Гц	10^2	10^3	10^4	10^5	10^6	10^7	10^8	$3 \cdot 10^8$	$3 \cdot 10^9$	10^{10}
ϵ'	14,2	9,8	7,2	5,9	5,3	5,0	4,8	4,54	4,40	4,37
$10^4 \operatorname{tg} \delta$	2500	2600	1600	800	460	340	260	240	290	360
$L(\omega)$	1,0	1,3	2,3	5,3	9,4	13,0	17,5	20,0	16,4	11,6

$$= \frac{2\lambda T^{(1)}}{\epsilon_0 c h E_0^2} L(\omega)$$
 по толщине слоя в установившемся режиме в зависимости от значения параметра $\alpha = 0,5; 2,5; 4,5$ (кривые 1—3) и критерия $Bi = 1$ (сплошные линии), $Bi = 10$ (штриховые), $Bi = 100$ (штрихпунктирные). Кривые 1—3 характеризуют одновременно распределение напряжений σ_*

$$= -\frac{2(1-\nu)\lambda\sigma_x^{(1)}}{\epsilon_0 \alpha \epsilon_1 E h E_0^2} L(\omega)$$
.

Зависимость температуры $T^{(1)}$ на основаниях слоя

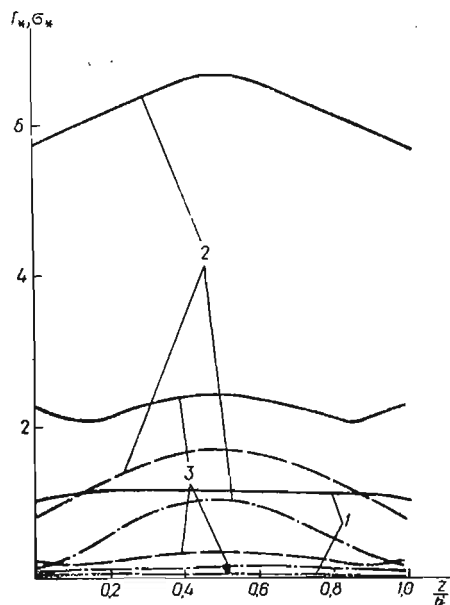


Рис. 3

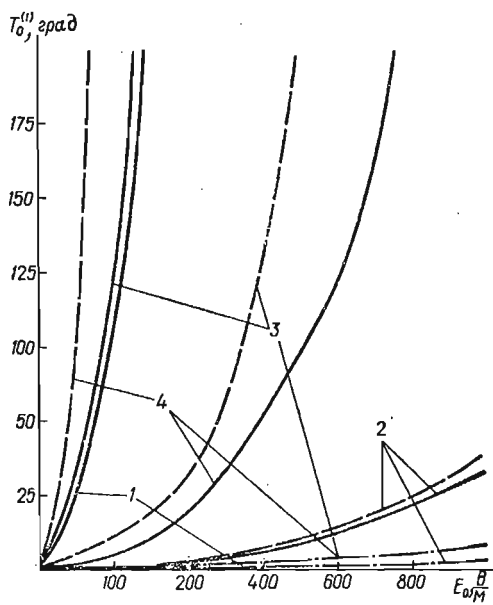


Рис. 4

в установившемся режиме от напряженности электрического поля E_0 при $Bi = 1$ и $h = 4,5 \cdot 10^{-2}; 9 \cdot 10^{-2}; 13,5 \cdot 10^{-2}; 15 \cdot 10^{-2}$ м (кривые 1—4) для рассматриваемого материала приведена на рис. 4. Сплошные линии соответствуют частоте нагрева 10^{10} Гц, штриховые $3 \cdot 10^9$ Гц и штрихпунктирные $3 \cdot 10^8$ Гц.

Из анализа полученных результатов следует, что в отличие от распределения джоулева тепла по толщине электропроводного слоя, находящегося под воздействием электромагнитного поля [5], распределение удельной плотности тепловыделений в диэлектрике существенно зависит от соотношения между толщиной слоя и длиной волны λ_* . При этом при длине падающей волны, равной половине толщины слоя, имеют место наибольшие тепловыделения. Изменением длины волны можно существенно регулировать распределение тепловыделений, создавая при этом по толщине зоны более сильного и слабого нагрева.

1. Гринберг Г. А. Избранные вопросы математической теории электрических и магнитных явлений.— М.; Л.: Изд-во АН СССР, 1948.— 728 с.
2. Каценеленбаум Б. З. Высокочастотная электродинамика.— М.: Наука, 1966.— 240 с.
3. Назаров Г. И., Сушкин В. В., Дмитриевская Л. В. Конструктивные пластмассы: Справочник.— М.: Машиностроение, 1973.— 190 с.

4. Нетушил А. В., Жуховицкий Б. М., Кудин В. Н., Парини Е. П. Высоочастотный нагрев диэлектриков и полупроводников.— М.; Л.: Госэнергоиздат, 1959.— 480 с.
5. Подстригач Я. С., Бурак Я. И., Гачкевич А. Р., Чернявская Л. В. Термоупругость электропроводных тел.— Киев: Наук. думка, 1977.— 246 с.
6. Рикенглас А. Э. К теории нагрева диэлектриков мощными электромагнитными полями.— Инж.-физ. журн., 1974, 27, № 6, с. 1061—1068.
7. Фрелих Г. Теория диэлектриков.— М.: Изд-во иностр. лит., 1960.— 251 с.
8. Хиппель А. Р. Диэлектрики и их применение.— М.; Л.: Госэнергоиздат, 1959.— 336 с.
9. Хиппель А. Р. Диэлектрики и волны.— М.: Изд-во иностр. лит., 1960.— 438 с.

Институт прикладных проблем
механики и математики АН УССР

Поступила в редколлегию
19.11.79

УДК 539.3

Е. М. Федюк

УПРУГОЕ РАВНОВЕСИЕ ПОЛОГОЙ СФЕРИЧЕСКОЙ ОБОЛОЧКИ С СИСТЕМОЙ ПАРАЛЛЕЛЬНЫХ РАЗРЕЗОВ (ТРЕЩИН)

Рассмотрим изотропную пологую сферическую оболочку толщиной $2h$. Пусть оболочка имеет N прямолинейных в плане произвольным образом расположенных параллельных сквозных трещин (разрезов) длиной $2l_k$ ($k = \bar{1}, N$). Предположим, что оболочка находится под действием внешней нагрузки, а к берегам разрезов приложены самоуравновешенные усилия и моменты. Считаем, что в процессе деформации оболочки при заданной нагрузке берега разрезов не контактируют.

Отнесем срединную поверхность оболочки к прямоугольной декартовой системе координат xOy , причем ось Ox направим параллельно линиям расположения разрезов. На каждом разрезе введем локальную систему координат $x_k O_k y_k$, начало которой совместим с центром разреза, а ось $O_k x_k$ направим по линии разреза. Центры разрезов в базисной системе координат xOy имеют координаты (x_k^0, y_k^0) , а оси $O_k x_k$ образуют с осью Ox углы $\beta_k = 0$ или $\beta_k = \pi$. Напряженное состояние рассматриваемой оболочки можно представить в виде суммы напряженного состояния, вызванного внешней нагрузкой в оболочке без разрезов, и возмущенного, вызванного наличием разрезов (трещин). Задача сводится к нахождению возмущенного напряженного состояния, так как напряженное состояние сплошной оболочки определяется известными методами.

Используя предложенный в работах [3, 4] метод решения задач теории тонких оболочек с трещинами, для определения возмущенного напряженного состояния пологой сферической оболочки [1] с одной трещиной $|x_k| \leq l_k$, $y_k = 0$ получаем разрушающую систему дифференциальных уравнений относительно функций $\varphi_k(x_k, y_k)$ и $\omega_k(x_k, y_k)$:

$$\begin{aligned} \nabla^2 \nabla^2 \varphi_k - \frac{D_0}{R} \nabla^2 \omega_k &= -D_0 (\nabla_1^2 \varepsilon_{22}^0 - \nabla_1 \nabla_2 \varepsilon_{12}^0), \\ \nabla^2 \nabla^2 \omega_k + \frac{1}{DR} \nabla^2 \varphi_k &= -(\nu \nabla_1^2 + \nabla_2^2) \kappa_{22}^0 - 2(1 - \nu) \nabla_1 \nabla_2 \kappa_{12}^0. \end{aligned} \quad (1)$$

Здесь

$$\nabla^2 = \nabla_1^2 + \nabla_2^2; \quad \nabla_1 = \frac{\partial}{\partial x_k}; \quad \nabla_2 = \frac{\partial}{\partial y_k}; \quad D_0 = 2Eh; \quad D = \frac{2Eh^3}{3(1 - \nu^2)};$$

E, ν — модуль упругости и коэффициент Пуассона; R — радиус срединной поверхности оболочки; $\varepsilon_{ij}^0, \kappa_{ij}^0$ — компоненты тензора дисторсии, характеризующие скачки перемещений и угла поворота на линии разреза и выражающиеся формулами

$$\begin{aligned} \varepsilon_{22}^0(x_k, y_k) &= \varepsilon_{2k}(x_k) \delta(y_k), \quad \varepsilon_{12}^0(x_k, y_k) = \varepsilon_{3k}(x_k) \delta(y_k), \\ \kappa_{22}^0(x_k, y_k) &= \kappa_{2k}(x_k) \delta(y_k) + \kappa_{4k}(x_k) \nabla_2 \delta(y_k), \\ \kappa_{12}^0(x_k, y_k) &= \nabla_1 \kappa_{4k}(x_k) \delta(y_k), \end{aligned} \quad (2)$$